

## 摩擦型グランドアンカーの支圧抵抗成分について

神戸大学工学部 正会員 軽部大蔵  
神戸大学大学院 学生会員 ○椎名教之

三軸試験機を図-1のように改造して、摩擦型アンカーの引抜き機構を調べてきた<sup>1)2)</sup>。アンカーは、直径  $d_a = 15\text{mm}$  の滑らかなステンレス丸棒であり、特に図中のA～Eは、長さ各5cmの部材であって、連結部の軸力をストレーンゲージで測定できる。アンカーの任意の部分にサンドペーパーを巻き付けて接着し、定着部とした。他の部分はステンレス面が土供試体 ( $\phi 10\text{cm} \times h 20\text{cm}$ ) に直接接触しているが、両者間の摩擦は充分に小さいので、引張り部と見なした。アンカーは、土供試体、キャップ及びピストンの中心を通っている。アンカーの引き上げに伴うキャップの浮上がりは、ピストンをセル外部で固定して（反力をRとする）阻止した。

今回の試験は、気乾豊浦砂を試料とし、定着部を試料の粒度に合わせて、No.100のサンドペーパーで形成した。排気状態の供試体に側圧  $\sigma_3 = 0.8 \text{ or } 1.5\text{kgf/cm}^2$  を加え、毎分0.4mmのひずみ制御でアンカーを引き抜いた。表-1は、供試体の初期密度  $\rho_{d0} \approx 1.59\text{g/cm}^3$  で行った試験の条件を示している。この外に、 $\rho_{d0}$  をかえた試験及び気乾状態のままの豊浦砂の三軸圧縮試験（CD及び定体積）を行った。

### 定着部の摩擦応力

図-2aは試験中の軸力とアンカーの引抜き量の関係の測定例である。図中、たとえば  $T_E$  は部材EとDの連結部の軸力を表している。各軸力  $T_i$  がピークに達する引抜き量はいずれも異なるが、以下の解析は、 $T_A$  のピークにおける各  $T_i$  を対象としている。表-2の  $T_A$  と  $T_E$  は、表-1に示したシリーズの測定値である。図-2bは、相隣の  $T_i$  の差  $\Delta T_i = T_i - T_{i+1}$  ( $i=A, B, C, \dots$ ) を表している。図-2の場合、(c) に示すように部材EとDは形状・寸法とも同一であるが、 $\Delta T_E$  より  $\Delta T_D$  が大きい。これは両部材には同じ摩擦力が作用していても、Eには押上げ力（文献2） $Q'$  が、一方、Dには支圧力  $Q$  が作用しているためであろう。また、定着部ではない部材Cにも軸力差が発生しているが、これも支圧力の一部と考えられる。したがって部材Eに作用する摩擦応力  $\tau$  は次式で算定できるであろう。

$$\tau = (T_E + Q') / (\pi d \times 5\text{cm}) \quad (1)$$

$$\text{ただし, } Q' = (\pi/4) (d^2 - d_a^2) K_a \sigma_3 \quad (2)$$

ここに、 $K_a$ ：主働土圧係数（CD三軸試験により  $K_a \approx 0.23$ ）、 $d$ ：定着部直径。（なお、今回の試験条件では、 $Q' = 0.06 \sim 0.39\text{kgf}$  と小さい。）

図-3は、表-1中の  $\ell > 5\text{cm}$  の試験結果の計算値を示しているが、 $(\tau / \sigma_3)$  は、 $d$  と  $\sigma_3$  の両方に影響されるようである。一方、表-1中の定着長  $\ell = 5\text{cm}$  の試験では、 $T_E$  に  $Q$  と  $Q'$  の両方が含まれるために直接に  $\tau$  を求めることはできない。そこで、図-3の  $\tau \sim d \sim \sigma_3$  関係が外挿も含めて成立すると仮定して  $\tau$  を推定した。

### 支圧係数の算定

定着部の上端付近に作用する支圧力と、式(2)で定義した押上げ力 上段  $\sigma_3 = 0.8$ 、下段  $1.5\text{kgf/cm}^2$ 、()試験個数

Daizo KARUBE, Noriyuki SHIINA

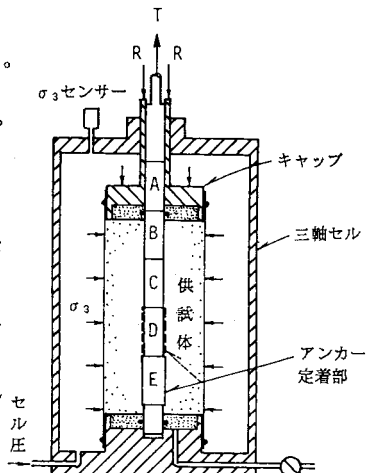


図-1 アンカーテスト装置

表-1 アンカーテストの条件と試験個数

定着部材	定着部直径 $d$ (cm)		
	1.633	1.773	1.918
5cm E	SS-08(7) SS-15(5)	SM-08(6) SM-15(3)	SL-08(3) SL-15(3)
	—	—	—
7.5cm E + D/2	MS-08(3)	—	—
	—	—	—
10cm E + D	LS-08(7) LS-15(4)	LM-08(6) LM-15(4)	—
	—	—	—

の和 ( $Q - Q'$ ) を実支圧力と呼ぶことにすると、実支圧力は次式で算定できる。

$$(Q - Q') = T - F_a - F = T_a - F_a - \pi d \ell \tau \quad (3)$$

ただし、 $F_a$  は引張り部（サンドペーパーを付けていない区間）の摩擦力であり、その大きさは  $\sigma_3 = 0.8$  および  $1.5 \text{ kgf/cm}^2$  のとき、 $1.2$  および  $1.7 \text{ kgf/cm}$  と測定されている。

次に、支圧係数を下式のように定義した。

$$\text{支圧係数} = \frac{\text{実支圧力}}{\text{支圧面積・側圧}} = \frac{(Q - Q')}{(\pi/4)(d^2 - d_a^2) \sigma_3} \quad (4)$$

式(4)による支圧係数の計算値を表-2 及び図-4 に示す。支圧係数は70前後であることがわかる。  
参考文献 1) 第23回土質工学研究発表会 No.625、2) 同 第24回 No.546

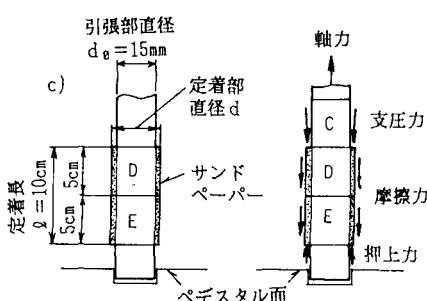
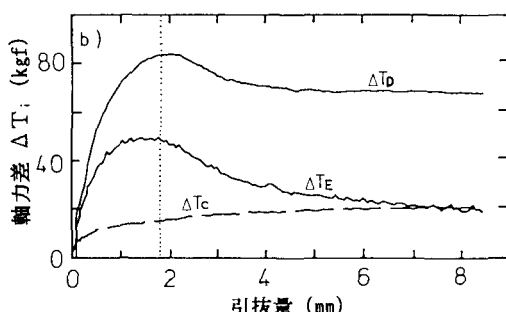
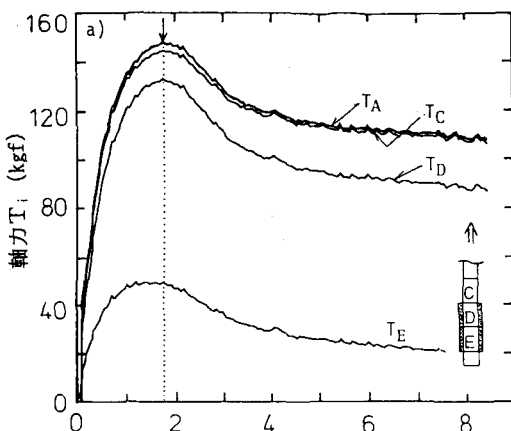


図-2 アンカートrial 例 (LM-08-1)

a) 軸力 b) 軸力差 c) 用語の定義

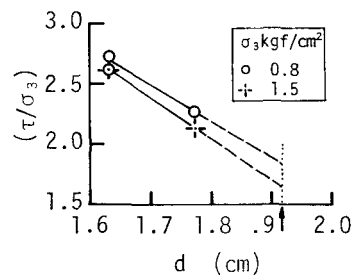


図-3 摩擦力の要因

表-2 試験結果及び支圧係数の計算値

シリーズ	$T_a$ (kgf)	$T_e$ (kgf)	実支圧力 (kgf)	支圧 係数
SS-08	95.69	74.99	23.6	90
SS-15	166.14	132.07	42.8	87
MS-08	114.91	54.31	17.9	68
LS-08	138.28	53.59	16.8	64
LS-15	244.52	99.68	29.4	60
SM-08	107.17	75.48	40.5	72
SM-15	187.39	139.71	75.4	72
LM-08	149.66	50.11	38.7	69
LM-15	268.44	88.38	75.9	72
SL-08	116.87	84.19	56.3	63
SL-15	210.11	161.53	112.5	67

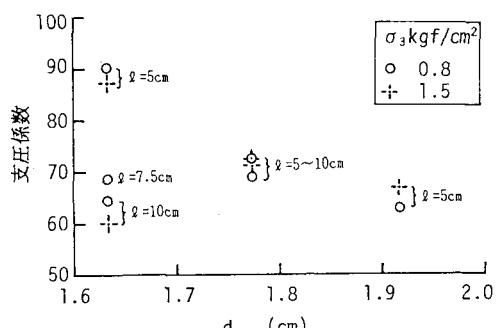


図-4 支圧係数の計算値